



مقاله علمی - پژوهشی:

جداسازی، تکثیر و انتقال ژن VP_{28} ویروس عامل لکه سفید میگو در میکروجلبک به روش الکتروپوریشن (تراواسازی الکتریکی)

سید داود حسینی^{*}^۱، محدثه سادات حسینی^۲، سید مهدی رضایی^۳

*hosseinida@yahoo.com

- مؤسسه تحقیقات واکسن و سرم سازی رازی، سازمان آموزش و تحقیقات و ترویج جهاد کشاورزی، اراک، ایران

- دانشگاه الزهرا، تهران، ایران

- دانشگاه ساری، مازندران، ایران

تاریخ پذیرش: تیر ۱۴۰۱

تاریخ دریافت: شهریور ۱۴۰۰

چکیده

بیماری لکه سفید یکی از مهمترین بیماری‌ها در پرورش میگو می‌باشد که موجب کاهش تولید و خسارت اقتصادی شدیدی در کل دنیا از جمله ایران گردیده است. مرگ و میر ناشی از این بیماری شدید و بسیار بالا و به طی ۳-۱۰ روز از شروع بیماری می‌رسد. بر اساس آمارهای جهانی سالانه در دنیا حدود ۳۰۰ هزار تن میگو بر اثر این بیماری تلف می‌شود. برای مثال، در ایران در سال‌های ۱۳۸۳، ۱۳۸۶، ۱۳۹۴، ۱۳۸۷، ۱۳۹۵ و ۱۳۹۸ شیوع این بیماری خسارات میلیاردی به تولید کنندگان وارد کرد. با توجه به این که ژن پروتئین ویروسی VP_{28} یکی از مهم‌ترین پروتئین‌های پوششی ویروس بیماری لکه سفید و در چسبیدن و نفوذ به سلول‌های میگو نقش دارد و از آنجایی که مهم‌ترین منبع غذایی میگو در مرحله لاروی میکروجلبک می‌باشد، می‌تواند منبع مناسبی برای ساخت واکسن باشد. در این تحقیق ژن VP_{28} به میکروجلبک انتقال داده شد تا از این راه کمکی در جهت تولید واکسن خوراکی برای جلوگیری از بیماری لکه سفید میگو انجام گیرد. در این تحقیق نمونه‌های میگو مشکوک به بیماری سندروم لکه سفید از استخراج‌های پرورشی آبادان (مهرماه ۱۳۹۰) به آزمایشگاه (*Penaeus indicus*) مشکوک با این روش پرورشی شده‌اند. این روش از روش پروتئیناز K و فتل / کلرفرم مؤسسه واکسن و سرم سازی رازی - شعبه اراک منتقل و DNA ژنومیک ویروس با استفاده از روش پروتئیناز K و فتل / کلرفرم استخراج شد. با طراحی آغازگرهای اختصاصی ژن VP_{28} به روش PCR تکثیر و به داخل وکتور pCAMBIA1304 منتقل و نهایتاً طی فرایند تراواسازی الکتریکی به میکروجلبک *Chlorella vulgaris* که خود یکی از میزبان‌های بسیار مناسب انتقال ژن می‌باشد، منتقل گردید.

لغات کلیدی: ژن VP_{28} ، لکه سفید میگو، میکروجلبک، کلرلاولگاریس، الکتروپوریشن

*نویسنده مسئول

مقدمه

پروتئین کینازها شناسایی و مطالعه گردیده‌اند. پروتئین‌های VP₂₈, VP₂₆ و VP₂₄ ممکن است با تکرار ژن‌ها رشد و تکثیر یابند. همه اینها به وسیله ORFs رمزگذاری شده و به طور تقریبی اندازه آنها حدود ۲۰۶ اسید آمینه برآورد گردیده است. مطالعات بعدی نشان داده است که VP₂₈ که مهم‌ترین پروتئین پوشش ویروس می‌باشند، نقش کلیدی در عفونت سیستمی بیماری لکه‌سفید در میگو داشته و مشاهده شده است که پروتئین VP₂₈ در چسبیدن و نفوذ به سلول‌های میگو نقش دارد (Soltani *et al.*, 2006; Kiataramgul *et al.*, 2020) با توجه به اینکه ژن پروتئین ویروسی VP₂₈ یکی از مهم‌ترین پروتئین‌های پوششی ویروس بیماری لکه سفید میگو می‌باشد و از آنجایی که مهم‌ترین منبع غذایی میگو در مرحله لاروی میکروجلبک می‌باشد و بیشترین درصد مرگ و میر بیماری لکه سفید در مرحله لاروی اتفاق می‌افتد (Yi *et al.*, 2004; Du *et al.*, 2006) در این تحقیق ژن VP₂₈ به میکروجلبک انتقال داده شد تا از این راه، کمکی در جهت تولید واکسن خوارکی برای جلوگیری از بیماری لکه سفید میگو انجام گیرد.

مواد و روش کار**تهیه میگوهای آلدود به بیماری لکه سفید و استخراج DNA**

نمونه‌های میگو (*Penaeus indicus*) مشکوک به بیماری سندروم لکه سفید و دارای علامت بیماری از استخراهی پرورشی آبادان (مهر ماه ۱۳۹۰) جهت انجام این تحقیق به مؤسسه واکسن و سرماسازی رازی-شعبه اراک منتقل شدند. ژنومیک ویروس با استفاده از روش پروتئیناز K و فتل/کلرفرم استخراج و مورد ارزیابی قرار گرفت.

طراحی آغازگر برای ژن Vp28

با استفاده از توالی ژن Vp28 موجود در بانک ژن (<http://web.expasy.org/translate>)، آغازگرهای رفت و برگشت به ترتیب زیر طراحی و از طریق شرکت تکاپو زیست سفارش ساخت داده شد به طوری که آغازگرهای به ترتیب دارای ترادف لازم

در طول سالیان اخیر، ریزجلبک‌ها کاربردهای گسترده‌ای در زندگی بشر پیدا کرده‌اند. این موجودات، اولین میکرووارگانیسم‌های تولیدکننده اکسیژن در سطح کره زمین بوده‌اند. دسته‌ای از ریزجلبک‌ها با ثبت نیتروژن، شکل قابل استفاده این عنصر را (به صورت آمونیوم و نیترات) در اختیار گیاهان قرار می‌دهند. گونه‌های ریزجلبکی متعددی مانند اسپیروولینا و جلبک‌هایی مثل پورفیرا نقش عمده‌ای در تأمین غذای سایر جانداران ایفاء می‌کنند. علاوه بر این، ترکیبات ارزشمند و دارای خواص دارویی تولیدی از این موجودات فتوسنتز کننده، علاقه محققین را برای یافتن ترکیبات جدید با خواص و قابلیت‌های مفید افزایش داده است (Cardozo *et al.*, 2007; Yang *et al.*, 2016; Kiataramgul *et al.*, 2020).

از سویی، ریزجلبک‌ها را می‌توان به عنوان گیاهانی میکروسکوپی در نظر گرفت و از آنها جهت تولید پروتئین‌های نوترکیب مانند گیاهان تاریخته بهره جست. با این مزیت که اولاً کشت ریزجلبک‌ها بسیار راحت‌تر است و با هزینه کمتری صورت می‌گیرد، ثانیاً در مواردی که گیاهان به راحتی قادر به رشد نیستند (زمین‌های شور)، ریزجلبک‌ها به خوبی رشد می‌کنند (Cardozo *et al.*, 2007, Yang *et al.*, 2016; Daliry *et al.*, 2017

ویروس عامل لکه سفید میگو دارای ۹ ساختمان پروتئینی است که تا به حال شناسائی شده‌اند و براساس اندازه آنها روی SDS-PAGE تعیین گردیده‌اند. پروتئین‌های ویروسی¹ (VP) شامل VP₁₉, VP₂₈, VP₂₂, VP₂₈₁ و VP₄₆₆ در پوشش ویروس قرار دارند درحالی که VP₁₅, VP₂₆, VP₃₅ و VP₂₄ در نوکلئوکپسید ویروس قرار گرفته‌اند. ترجمه ژن‌های WSSV مشخص نموده است که ژن‌های پروتئین‌های ویروسی، شامل VP₂₈, VP₂₄, VP₁₉ و VP₁₅ هنگام ایجاد بیماری با تأخیر ظاهر شده در حالی که آنزیم ردکتاز ریبونوکلئو اسیدها زودتر از این ژن‌ها ظاهر می‌شوند. به دنبال آن سایر ژن‌ها شبیه ریبونوکلئوتید ریدکتاز، پروتئین‌های شبیه کلائز و

¹ Viral Proteins

برای شناسایی و برش با آنزیم‌های BamHI و EcoRI باشند.

5'-ATAGGATCCAGGATGGATCTTCTTC-3' :Forward

5'-ATAGAATTCTTACTCGGTCTCAGTGCCA-3' :Reverse

مراحل واکنش اتصال (Ligation) شرکت فرمنتاز (FastDigest) استفاده و مطابق دستواعمل و بعد از ورتکس کوتاه، مخلوط واکنش در ۳۷ درجه سانتی‌گراد به مدت ۵ دقیقه آنکوبه شد. در پایان، واکنش در دمای ۸۰ درجه سانتی‌گراد به مدت ۱۰ دقیقه متوقف شد.

مراحل واکنش اتصال (Ligation)

مخلوط اتصال بر اساس جدول ۱ تهیه و عمل اتصال در دمای ۲۲ درجه سانتی‌گراد به مدت ۱ ساعت انجام شد و محصول به مدت یک شب در یخچال (۴ درجه سانتی‌گراد) قرار داده شد. محصول اتصال با روش شوک حرارتی (Sambrook *et al.*, 1989) به سلول‌های مستعد کانامایسین کشت داده شد. برای تأیید مولکولی نوترکیب بودن باکتری، Colony PCR و واکنش هضم آنزیمی با آنزیم‌های برشی *SacI* و *XbaI* صورت گرفت.

جدول ۱: واکنش اتصال قطعه Vp28 به ناقل pBI121

Table 1: Ligation reaction of Vp28 fragment into pBI121 vector

اجزای واکنش	حجم
ناقلم	۶ μl
محصول هضم آنزیمی PCR	۷ μl
بافر اتصال (۱۰×)	۳ μl
ATP	۰/۵ μl
ddH ₂ O	۱۲/۵ μl
(۲μ/μl) DNA T4 لیگاز	۱ μl
حجم کل	۲۰ μl

انتقال سازه pBI121 دارای ژن Vp28 به پلاسمید pCAMBIA1304

برای انتقال قسمتی از پلاسمید pBI121 حاوی ژن Vp28 به پلاسمید pCAMBIA1304 ابتدا هر دو پلاسمید با دو آنزیم *HindIII* و *EcoRI* و مطابق جدول ۲

Vp28 جهت تکثیر ژن PCR

برای تکثیر ژن Vp28 واکنش PCR در حجم ۲۵ μl و بر نامه ۳۵ سیکل با دمای دناتور ۲۹ به مدت ۶۰ ثانیه، آنالینگ (اتصال) ۵۷ درجه سانتی‌گراد و دمای ۷۲ درجه سانتی‌گراد به مدت ۱۰ دقیقه تکمیل پلیمریزاسیون انجام و روی ژل آگارز ۱/۲ درصد الکتروفورز گردید.

همسانه سازی ژن در پلاسمید pTZ57R/T

ژن حاوی سایت‌های برشی در طرفین با آنزیم‌های مرتبط هضم و تخلیص گردید و نهایتاً با آنزیم T4DNA ligase شرکت فرمنتاز (Fermentas) در وکتور pTZ57R/T بر اساس پروتکل شرکت سازنده کلون و در دمای ۴ درجه سانتی‌گراد به مدت یک شبانه روز گرما گذاری انجام گردید. انتقال ژن به وکتور pTZ57R/T به علت داشتن یک مخزن برای تکثیر ژن Vp28 و بررسی کارکرد صحیح جایگاه‌های آنزیم‌های برشی طراحی شده بر آغازگرها انجام شد. سپس وکتور نوترکیب شده به باکتری DH5α مستعد شده به روش شوک حرارتی منتقل شد. جهت تأیید انتقال وکتور نوترکیب به باکتری، از کلنی‌های سفید رشد کرده آزمایش PCR صورت گرفت.

ساخت سازه‌ی پلاسمیدی به منظور انتقال ژن Vp28

به میکروجلبک Chlorella vulgaris

ژن Vp28 ابتدا از روی وکتور pTZ57R/T تکثیر شده در باکتری DH5α با استفاده از آنزیم‌های برشی منطبق، به پلاسمید pBI121 انتقال داده شد و سپس ژن مورد نظر به همراه پروموتور (آغاز گر) و ترمیناتور (پایان دهنده) موجود در پلاسمید pBI121 به جایگاه کلون پلاسمید pCAMBIA1304 انتقال داده شد. برای هضم آنزیمی محصولات PCR (خالص شده از روی ژل) و ناقل Sac1 از آنزیم‌های برشی BamH1 و pBI121

- آماده سازی میکرو جلبک برای انتقال ژن با روش تراواسازی الکتریکی
- در این تحقیق از میکرو جلبک *Chlorella vulgaris* به عنوان میکرو جلبک یوکاریوتی در محیط کشت مایع و جامد زاروک (Zarrouk's medium) استفاده شد (Borowitzka, 1999). رشد جلبک کلرلا در دمای ۲۵ درجه سانتی گراد و با شدت نور ۸۲۰۰ لوکس (۱۶ ساعت روشنایی، ۸ ساعت تاریکی) و با تکان ۲۰۰ دور در دقیقه به شرح ذیل انجام گرفت:
۱. نمونه میکرو جلبکها با دور ۴۵۰۰g در ۱۰ دقیقه سانتریفیوژ شد.
 ۲. محلول رویی دور ریخته شده و بر رسوب حاصل ۴۰ میلی لیتر آب استریل ریخته شد.
 ۳. نمونه مطابق مرحله ۱ سانتریفیوژ شد.
 ۴. مرحله شستشو ۲ بار انجام شد تا کلیه نمکها حذف شود و در عملکرد دستگاه الکتروپوریت اختلال ایجاد نکند. نمونه‌ها به همراه پلاسمیدهای خطی و حلقوی در کووت‌های الکتروپوریت ریخته شد. نمونه‌ها شامل: ۸۰۰ میکرو لیتر کلرلا + ۲ میکرو لیتر پلاسمید حلقوی و ۸۰۰ میکرو لیتر کلرلا + ۲۰ میکرو لیتر پلاسمید خطی امده بود و با ولتاژ حدود ۱۷۱۰ به مدت ۴ ثانیه الکتروپورت شد.
 ۵. نمونه‌ها بعد از تراواسازی الکتریکی روی یخ قرار داده شدند.
 ۶. از هر نمونه مقدار ۲۷۰ میکرو لیتر به داخل ۲۵ میلی لیتر از محیط کشت زاروک مایع انتقال داده شد (از هر نمونه ۳ تکرار، کل نمونه‌ها ۱۲ نمونه).
 ۷. نمونه‌ها طبق شرایط رشد میکرو جلبک به مدت ۲۴ ساعت کشت داده شد.

انتخاب و رشد میکرو جلبک‌های ترنسفورم شده

میکرو جلبک *Chlorella vulgaris* بعد از تراواسازی الکتریکی در محیط کشت زاروک و شرایط رشدی مذکور حاوی آنتی بیوتیک هاگرومایسین^۱ انتقال داده شد. نمونه‌های کلرلا و طبق روش ذکر شده استخراج

و در دمای ۳۷ درجه سانتی گراد به مدت ۵ دقیقه برش داده شد. محصول واکنش الکتروفورز و سپس پلاسمید برش خورده pCAMBIA1304 و قطعه Vp28 pCAMBIA1304 متعلق به پروموتور (آغاز گر) از روی CaMV 35S ژل جداسازی و تخلیص گردید. قطعات تخلیص شده از ژل مطابق جدول ۳ و در دمای ۲۲ درجه سانتی گراد به مدت ۱ ساعت به همدیگر اتصال داده شد. محصول اتصال جهت انتقال به سلول‌های میکرو جلبک کلرلا ولگاریس استفاده شد. پلاسمید نوترکیب به دو صورت حلقوی و خطی جهت انتقال به میکرو جلبک آماده گردید.

جدول ۲: ترکیب و مقدار واکنش‌گرها برای هضم آنزیمی

پلاسمید pBI121 دارای ژن Vp28 و پلاسمید

pCAMBIA1304

Table 2: Composition and reagents for enzymatic digestion of plasmid pBI121 bearing Vp28 gene and plasmid pCAMBIA1304

حجم	اجزای واکنش
۶ μl	پلاسمید pBI121 دارای ژن Vp28 یا pCAMBIA1304
۲ μl	بافر آنزیم برنشی (۱۰×)
۱ μl	Anz. <i>Hin dIII</i>
۱ μl	Anz. <i>Eco RI</i>
۱۰ μl	تا حجم
	ddH ₂ O

جدول ۳: واکنش اتصال قطعه Vp28 به ناقل

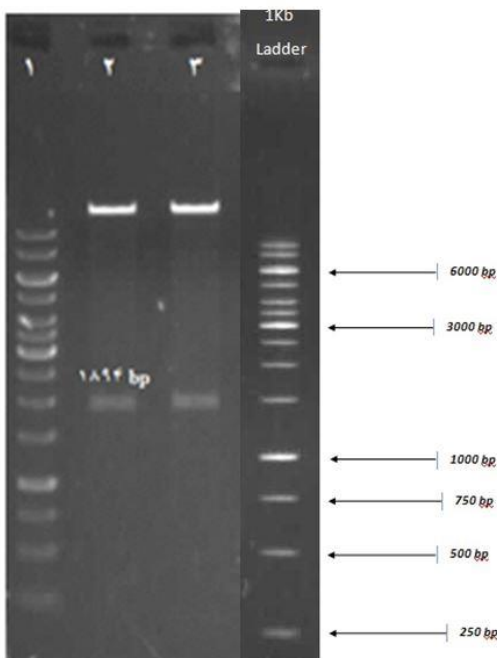
Table 3: Ligation reaction of Vp28 fragment into pCAMBIA1304 vector

حجم	اجزای واکنش
۶ μl	pCAMBIA1304
۷ μl	قطعه ژن به همراه پروموتور و ترمیناتور
۲ μl	بافر اتصال (۱۰×)
۰.۵ μl	ATP
۳/۵ μl	تا حجم
۱ μl	ddH ₂ O
۲۰ μl	(۲۰ μl/μl) لیگاز DNA T4
	حجم کل

¹ Hygromycin

گردید و به وسیله PCR صحت تاریخته شدن نمونه‌ها ثابت شد.

Vp₂₈ و هضم آنزیمی برای مشاهده ژن به Colony PCR همراه پرموتور و ترمیناتور صورت گرفت. با توجه به شکل ۳ در Colony PCR قطعه ۶۱۵ bp ژن مورد نظر مشاهده و تأیید شد.



شکل ۲: هضم پلاسمید pBI121 به منظور خروج ژن GUS و توالی همراه آن بین دو آنزیم SacI و BamHI به طول ۱۸۹۴ bp. چاهک‌های ۲ و ۳ - هضم پلاسمید pBI121 به منظور خروج ژن GUS و توالی همراه آن بین دو آنزیم SacI و BamHI به طول ۱۸۹۴ bp، چاهک ۱ به طول ۱Kbp DNA Ladder- ۱۸۹۴ bp

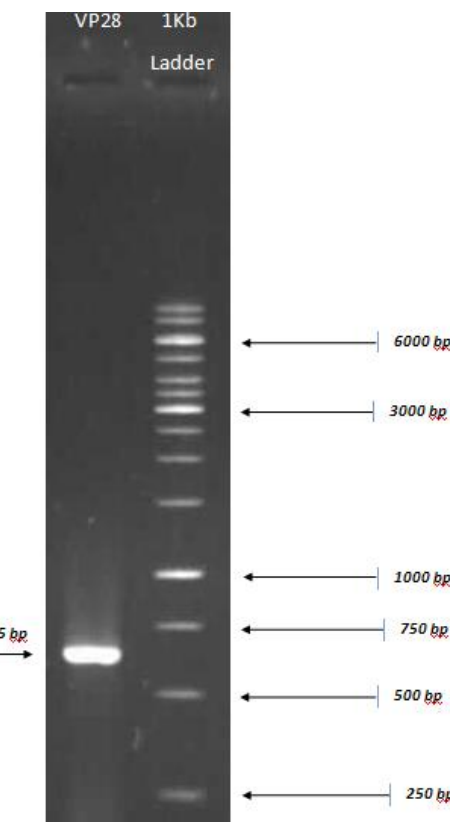
Figure 2: Digestion of plasmid pBI121, removing the GUS gene and its accompanying sequence between two enzymes SacI and BamHI with a length of 1894 bp; LaneS 2 and 3 digestion of pBI121 plasmid , extracting the GUS gene and its accompanying sequence between two enzymes SacI and BamHI with a length of 1894 bp, Lane 1 DNA Ladder 1Kbp

هضم آنزیمی قطعه ژنی Vp₂₈ داخل pBI121 به همراه پرموتور و ترمیناتور ۳۵S جهت تایید وجود قطعه ژن در پلاسمید pBI121، هضم آنزیمی با آنزیم‌های Eco RI و Hin dIII و SacI صورت گرفت. قطعه ژن Vp₂₈ به همراه پرموتور ۳۵S و ترمیناتور از پلاسمید pBI121 به اندازه ۱۵۲۴ bp به اندازه ۱۵۲۴ bp مشاهده گردید (شکل ۴).

گردید و به وسیله PCR صحت تاریخته شدن نمونه‌ها ثابت شد.

نتایج

تکثیر ژن کد کننده VP28 بوسیله PCR و پرایمر های اختصاصی انجام و طول ژن حدود ۶۱۵ bp روی ژل آگارز نشان داده شده است (شکل ۱).

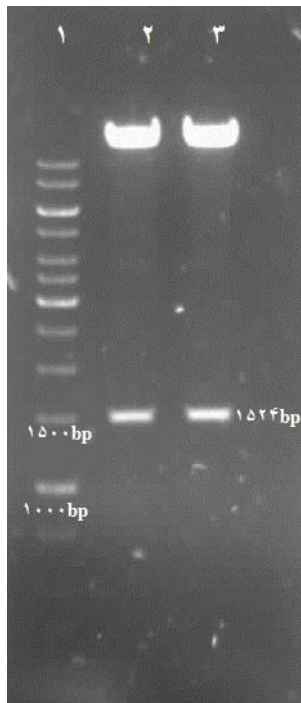


شکل ۱: تکثیر ژن Vp28 با استفاده از آغازگرهای اختصاصی ۱kb روی ژل آگارز ۱/۲ درصد و لدر

Figure 1: Amplification of Vp28 gene using specific primers on 1.2% agarose gel,Ladder 1kb

ساخت پلاسمید pBI121 نوترکیب حاوی ژن Vp₂₈ با هضم پلاسمید pBI121 با دو آنزیم برشی SacI و BamHI قطعه مربوط به ژن GUS (bp ۱۸۹۴) حذف گردید (شکل ۲).

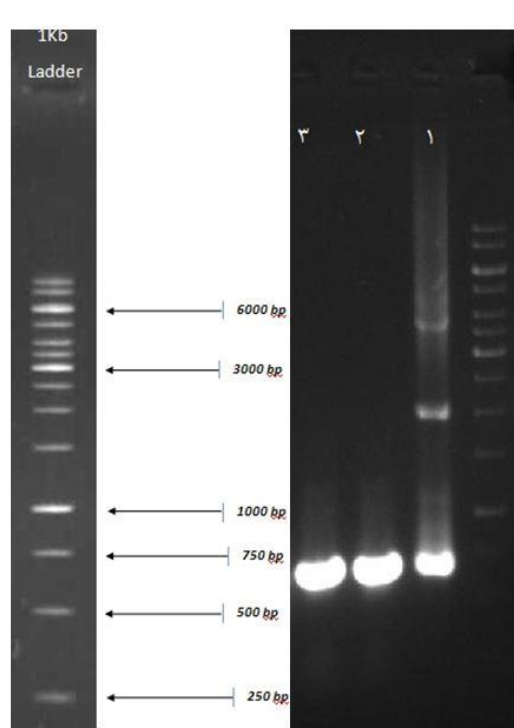
سپس قطعه ژن Vp₂₈ هضم شده با دو آنزیم SacI و BamHI به درون پلاسمید pBI121 منتقل و برای تایید انتقال ژن به پلاسمید از کلونی‌های مقاوم رشد کرده



شکل ۴: هضم آنزیمی قطعه ژنی Vp28 داخل pBI121 به همراه پروموتور و ترمیناتور ۳۵S. چاهک‌های ۲ و ۳ - هضم آنزیمی قطعه ژنی Vp28 داخل pBI121 به همراه پروموتور و DNA ترمیناتور ۳۵S و مشاهده قطعه ۱۵۲۴ bp. چاهک -۱ Ladder 1Kbp

Figure 4: Enzymatic digestion of Vp28 gene fragment inside pBI121 along with S35 promoter and terminator; Lanes 2 and 3 Enzymatic digestion of Vp28 gene fragment inside pBI121 along with S35 promoter and terminator and observation of 1524 bp fragment. Lane 1 DNA Ladder 1Kbp

PCR ژن GUS و Hygromycin از DNA استخراج شده میکروجلبک‌های تراریخت
استخراج DNA از میکروجلبک‌های نوترکیب یا تراریخت بهوسیله پلاسمید pCAMBIA1304 که دارای ژن Vp₂₈, ژن GUS و Hygromycin در داخل این پلاسمید می‌باشد، انجام شد. شکل ۷ نشان می‌دهد که PCR با ژن GUS و Hygromycin از DNA استخراج شده از کلرلا ولگاریس (*Chlorella vulgaris*) تراریخت شده بهوسیله تراواسازی الکتریکی با پلاسمید حلقوی نشان‌دهنده وجود ژن GUS و Hygromycin در نمونه‌های تراریخت می‌باشد.

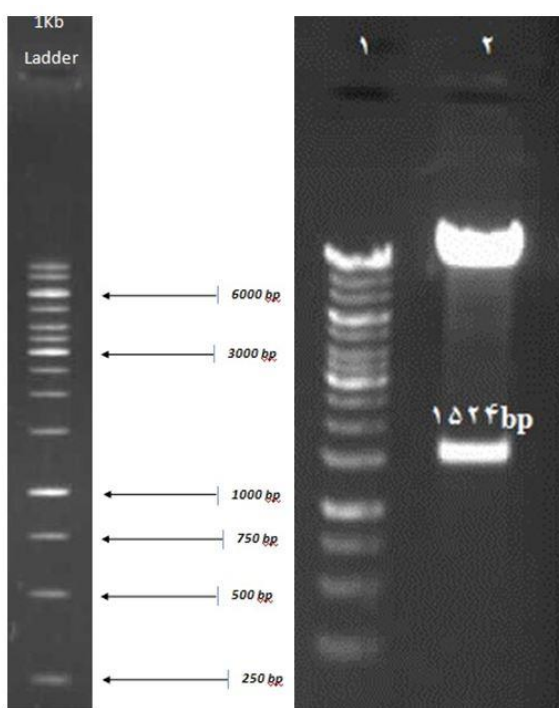


شکل ۳: PCR Colony از باکتری‌های ترانسفورم شده حاوی پلاسمید pBI121 دارای ژن Vp28 به طول ۶۱۵ bp. چاهک -۱ - کنترل مثبت، چاهک‌های ۲ و ۳ - کلنی مثبت دارای ژن Vp28 (fermentase DNA Ladder,1Kbp)

Figure 3: Colony PCR of transformed bacteria containing plasmid pBI121 bearing Vp28 gene with a length of 615 bp, Lane 1 positive control, Lanes 2 and 3 positive colony containing Vp28 gene. (DNA Ladder 1Kbp, Fermentase Company)

تأیید کلونی‌های نوترکیب از پلاسمید Vp28 pCAMBIA1304

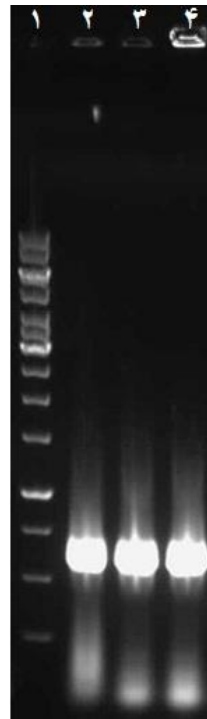
قطعه ژن Vp28 به همراه پروموتور و ترمیناتور خارج شده از پلاسمید pBI121 به درون پلاسمید pCAMBIA1304 منتقل گردید و برای آزمون صحت انتقال ژن به پلاسمید از کلونی‌های مقاوم رشد کرده به روشن Colony PCR از ژن Vp₂₈ و هضم با آنزیم‌های برشی برای مشاهده ژن Vp₂₈ به همراه پروموتور و ترمیناتور است؛ شدند. در نتیجه Colony PCR ۶۱۵ bp مربوط به ژن Vp₂₈ تکثیر و همچنین در روش هضم آنزیمی با آنزیم‌های Eco RI و Hin dIII در Vp₂₈ وجود ۱۵۲۴ bp جدا و بروز آگارز مشاهده شد (شکل‌های ۵ و ۶).



شکل ۶: هضم آنزیمی پلاسمید pCAMBIA1304 با آنزیم‌های Vp28 و Eco RI و Hin dIII چاهک ۲- هضم آنزیمی قطعه ژنی pCAMBIA1304 به همراه پرموتور و ترمیناتور ۳۵S و مشاهده قطعه ۱۵۲۴ bp، چاهک ۱- چاهک ۱Kbp

Figure 6: Enzymatic digestion of plasmid pCAMBIA1304 using Hind III and EcoRI enzymes; Lane 2 digestion of Vp28 gene fragment(1524bp) inside pCAMBIA1304 along with S35 promoter and terminator, Lane 1 DNA Ladder 1Kbp

نشان داد که میکروجلبک‌های ترازیخت مورد مطالعه دارای باند مربوط به ژن Vp₂₈ بودند. در شکل ۸ RT- PCR میکروجلبک‌های بالقوه ترازیخت انتخاب شده در مرحله تراواسازی الکتروکی با پلاسمید خطي و حلقوی نشان دهنده وجود ژن Vp₂₈ در نمونه‌های ترازیخت به جز نمونه الکتروکی با پلاسمید خطي می‌باشد.

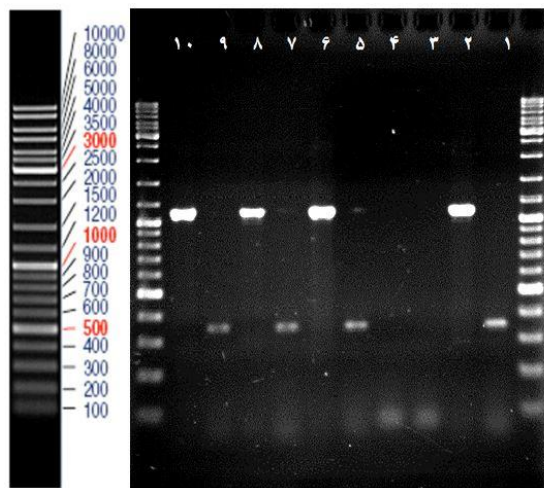


شکل ۵: Colony PCR from transformed bacteria containing plasmid pCAMBIA1304 bearing Vp28 gene with 615 bp length; Lanes 2, 3 and 4 Vp28 gene positive colony, Lane 1 DNA Ladder 1Kbp

Figure 5: Colony PCR from transformed bacteria containing plasmid pCAMBIA1304 bearing Vp28 gene with 615 bp length; Lanes 2, 3 and 4 Vp28 gene positive colony, Lane 1 DNA Ladder 1Kbp

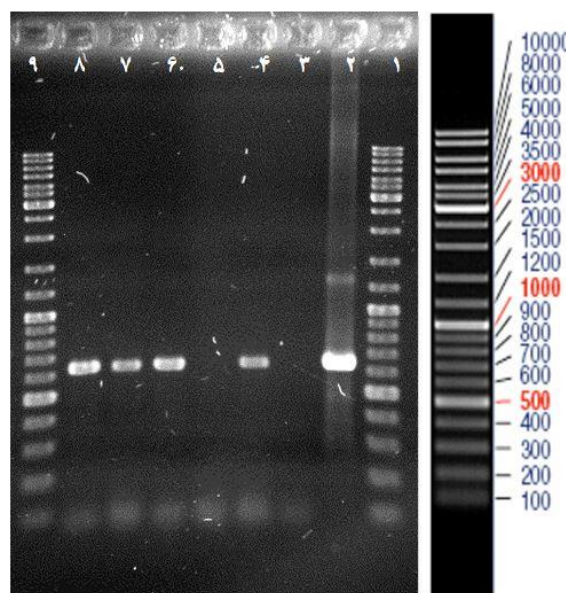
بررسی و تأیید میکروجلبک‌های ترازیخت با - RT- PCR

میکروجلبک‌های بالقوه ترازیخت انتخاب شده در مرحله قبل با روش‌های مولکولی مورد مطالعه قرار گرفته و ادغام ژن انتقالی مربوطه در ژنوم میکروجلبک تأیید گردید. پس از ساخت cDNA واکنش RT- PCR برای تأیید حضور قطعات ژنی Vp₂₈ در میکروجلبک‌های بالقوه ترازیخت، با آغازگر تخصصی ژن Vp₂₈، انجام شد. نتایج به دست آمده



شکل ۷: PCR ژن GUS و Hygromycin از DNA استخراج شده میکروجلبک های تراریخت. چاهک ۱- کنترل مثبت ژن Hygromycin از پلاسمید pCAMBIA1304 ، چاهک ۲- کنترل مثبت ژن GUS از پلاسمید GUS از pCAMBIA1304، چاهک ۳- کنترل منفی ژن Hygromycin از نمونه کلرلا شاهد، چاهک ۴- کنترل منفی ژن GUS از نمونه کلرلا شاهد، چاهک های ۵ و ۶- ژن Hygromycin از نمونه کلرلا و لگاریس (*Chlorella vulgaris*) تراریخت شده با تراواسازی الکترو بیکی با پلاسمید حلقوی، چاهک های ۷، ۸ و ۹- GUS از نمونه کلرلا و لگاریس تراریخت شده با تراواسازی الکترو بیکی ، DNA بر ژل آگارز ۱/۲ درصد Ladder Mix

Figure 7: PCR of GUS and Hygromycin gene from extracted DNA of transgenic microalgae; Lane 1 Positive control of Hygromycin gene from plasmid pCAMBIA1304, Lane 2 Positive control of GUS gene from plasmid pCAMBIA1304, Lane 3 Negative control of Hygromycin gene from control sample, Lane 4 Negative control of GUS gene from control sample, Lanes 5,7, and 9 Hygromycin from sample of *Chlorella vulgaris* transformed by electroporation, Lanes 6,10, and 8 GUS circular plasmid from *Chlorella vulgaris* sample transformed by electroporation, DNA Ladder Mix on 1.2% agarose gel



شکل ۸: RT-PCR ژن Vp28 از cDNA سنتز شده از میکروجلبک های تراریخت. چاهک ۲- کنترل مثبت ژن Vp28، چاهک ۳- کنترل منفی نمونه شاهد، چاهک ۴- کلرلا تراریخت بهوسیله تراواسازی الکترو بیکی با پلاسمید حلقوی، چاهک ۵- کلرلا تراریخت با تراواسازی الکترو بیکی با پلاسمید خطی (نشان دهنده عدم وجود ژن مربوطه)، چاهک های ۷، ۸ و ۶- کلرلا تراریخت با تراواسازی الکترو بیکی با پلاسمید حلقوی، چاهک های ۱ و ۹- DNA بر ژل آگارز ۱/۲ درصد Ladder Mix

Figure 8: RT-PCR of Vp28 gene from cDNA synthesized from transgenic microalgae; Lane 2 Positive control of Vp28 gene, Lane 3 Negative control of the control sample, Lane 4 Chlorella transformed by electroporation with circular plasmid 5 Chlorella transformed by electroporation with linear plasmid (indicating the absence of the relevant gene); Lnaes 7, 8 and 6 Chlorella transformed by electroporation with circular plasmid; Lane 1 and 9 DNA Ladder Mix on 1.2% agarose gel

بحث

دادند که ژن $Vp28$ دارای خاصیت آنتی ژنیستیکی بالایی در بیماری لکه سفید است.

Jha و همکاران (۲۰۰۶) و Witteveldt (۲۰۰۶) توانستند ژن $Vp28$ را در باکتری *E. coli* بیان کنند. Du و همکاران (۲۰۰۶) توانستند این ژن را در سلول‌های حشرات بیان کنند. Jha و همکاران (۲۰۰۷) توانستند ژن $Vp28$ را در سلول‌های مخمر بیان کنند. پروتئین‌های بیان شده در سیستم‌های پروکاریوت و یوکاریوت تفاوت ساختاری و عملکردی نشان نمی‌داد. این بیانگر نداشتن پیوندهای گلیکوزیدی و نبودن تغییرات $Vp28$ پس از ترجمه زیاد در پروتئین‌های بیان شده از ژن $Vp28$ می‌باشد. Witteveldt و همکاران (۲۰۰۶) نشان دادند مقدار پروتئین مورد نیاز برای تحریک سیستم ایمنی میگو به عنوان واکسن ۴ میکروگرم از این پروتئین در یک میگوی بالغ می‌باشد و نتایج این بررسی نشان داد پس از استفاده از واکسن قبل از شروع بیماری، ۶۵ درصد و در ۲ روز اول آلودگی باعث جلوگیری از ۳۳ درصد تلفات می‌شود. Du و همکاران (۲۰۰۶) نشان دادند استفاده از پروتئین بیان شده از *E. coli* و سلول‌های حشرات به عنوان واکسن، اثرات معنی‌داری در جلوگیری از بیماری لکه سفید میگو دارد.

آخری نیز تحقیقات زیادی انجام شده است که نشان می‌دهند، همچنان پروتئین نوترکیب $Vp28$ می‌تواند به عنوان یکی از روش‌های کنترلی و موثر در مهار ویروس *Taengchaiyaphum et al.*, ۲۰۱۷; Dyo and Purton, ۲۰۱۸; Ma et al., ۲۰۲۰ WSS استفاده گردد (Chaisvisuthangkura و همکاران ۲۰۰۴). نویسنده امیدوار است در آینده نزدیک با استفاده از ساختار ژنتیکی حاوی ژن $Vp28$ حاصل در این تحقیق، بتواند در آزمایش‌های تکمیلی *in-vivo* نقش موثری در کنترل بیماری لکه سفید ایفاء نماید.

در این پژوهش ژن کد کننده $VP28$ ویروس عامل لکه سفید میگو، به طور کامل در میکرو جلبک *C. vulgaris* منتقل شد و با توجه به میزان گلایکوزیلیش (گلیکوزلاسیون) پایین ژن، احتمالاً این جلبک نوترکیب می‌تواند کاندیدای مناسبی برای بیان و ایجاد مصنونیت علیه ویروس لکه سفید در میگو به صورت خوارکی باشد.

تولید فرآورده‌های مختلف از ویروس‌های بیماری‌زا خطر انتقال و انتشار ویروس در محیط، و آلوده شدن محصولات تولیدی را به دنبال دارد. بنابراین، امروزه برای تولید فرآورده‌هایی از این ویروس‌ها بیشتر از روش‌های زیست‌فناوری استفاده می‌گردد. به همین منظور در سال‌های اخیر تلاش برای جداسازی، بیان ژن‌های مختلف این ویروس و تخلیص این پروتئین‌ها آغاز شد. اقدامات مهم و اساسی در این زمینه صورت گرفت و توالی‌های متفاوتی از این ژن تکثیر و بررسی شده است. تمامی این تلاش‌ها مبنی بر بیان این پروتئین و بررسی در خصوص آنتی ژنیستیته (خاصیت آنتی ژنی) آن، نشان‌دهنده یکسان و مشترک بودن نتایج حاصل از تحقیقات بوده و بیانگر بالا بودن آنتی ژنیستیته پروتئین حاصل از بیان ژن $Vp28$ می‌باشد (Kiataramgul et al., 2020).

در تحقیق حاضر ژن $Vp28$ با منشا ویروسی انتخاب گردید. به منظور بررسی امکان ایجاد مقاومت در جلبک در اثر بیان ژن $Vp28$, ناحیه کدکننده این ژن تحت کنترل پرومتر $S35$ به میکروجلبک *C. vulgaris* که خود یکی از میزبان‌های مناسب برای مهندسی و انتقال ژن می‌باشد، منتقل شد (Yang et al., 2016). جهت تاریخ‌سازی *C. vulgaris* از وکتور (حامل) دوتایی *pCAMBIA1304* واجد توالی ژنی $Vp28$ استفاده شد.

این فرضیه که این پروتئین‌ها می‌توانند آنتی ژن مناسبی جهت تشخیص ملکولی باشند یا به صورت نوترکیب در ساخت واکسن برای جلوگیری از بیماری لکه سفید ایجاد شده بهوسیله گونه‌های مختلف این ویروس به کار بروند، اهمیت بررسی در این زمینه را آشکار نموده است، Chaisvisuthangkura و همکاران (۲۰۰۴) و Namikoshi van Hulten (۲۰۰۶) و Caipang (۲۰۰۶) Fagutao (۲۰۱۳) و همکاران (۲۰۰۱) از بین ۱۸۱ ORF غیرهمپوشان، ۵ ژن مهم ($Vp15$, $Vp19$, $Vp24$, $Vp26$, $Vp28$) در دخیل ایجاد بیماری بهوسیله ویروس را شناسایی کردند. در تحقیقات بعدی ژن $Vp28$ به عنوان مهم‌ترین ژن در فرآیند بیماری‌زا بیماری لکه سفید میگو معرفی گردید. Yi و همکاران (۲۰۰۴) و Tang (۲۰۰۷) نشان

منابع

- Global Journal of Inviromental Science and Management*, 2(10),217-230. DOI: 10.22034/gjesm.2017.03.02.010
- Du, H., Xu, Z., Wu, X., Li, W. and Dai, W., 2006.** Increased resistance to white spot syndrome virus in *Procambarus clarkii* by injection of envelope protein VP28 expressed using recombinant baculovirus. *Aquaculture*, 260, 39-43. DOI: 10.1016/j.aquaculture.2006.06.032.
- Dyo, Y. M. and Purton, S. 2018.** The algal chloroplast as a synthetic biology platform for production of therapeutic proteins. *Microbiology (Reading)*, 164, 113-121.DOI: 10.1099/mic.0.000599.
- YI, G.Z.W., Yipeng, Q.I., Lunguang, Y., Juan, Q. and Longbo, H., 2004.** Vp28 of Shrimp White Spot Syndrome Virus Is Involved in the Attachment and Penetration into Shrimp Cells. *Journal of Biochemistry and Molecular Biology*, 37, 726-734. DOI: 10.5483/bmbrep.2004.37.6.726.
- Jha, R.K., Xu, Z.R., Shen, J., Bai, S.J., Sun, J.Y. and Li, W.F., 2006.** The efficacy of recombinant vaccines against white spot syndrome virus in *Procambarusclarkii*. *Immunology Letters*, 105(1), 68-76. DOI: 10.1016/j.imlet.2006.01.004.
- Kiataramgul, A., Maneenin, S., Purton, S., Areechon, N., Hirono, I., Brocklehurst, T.W. and Unalak, S., 2020.** An oral delivery system for controlling white spot syndrome virus infection in shrimp using transgenic microalgae. *Aquaculture*, 521, 735022. DOI: 10.1016/j.aquaculture.2020.735022
- Borowitzka, M.A., 1999.** Commercial production of microalgae: ponds, tanks, tubes and fermenters. *Journal of Biotechnology*, 70, 313-321. DOI: 10.1016/S0168-1656(99)00083-8
- Caipong, C.M.A. and Fagutao, F., 2013.** Transcriptional upregulation of fortillin in shrimp, *Penaeus (Metapenaeus) japonicus* fed diets containing recombinant VP28, an antigenic protein of white spot syndrome virus (WSSV). *Aquaculture, Aquarium, Conservation and Legislation. International Journal of the Bioflux Society*, 6(4):345-351. <http://www.bioflux.com.ro/aacl>
- Cardozo, K. H. M., Guaratini, T., Barros, M. P., Falcao, V. R., Tonon, A. P., Lopes, N. P., Campos, S., Torres, M. A., Souza, A. O., Colepicolo, P. and Pinto, E., 2007.** Metabolites from algae with economical impact. *Comparative Biochemistry and Physiology part C Toxicology and Pharmacology*, 146, 60-78.DOI: 10.1016/j.cbpc.2006.05.007
- Chaisvisuthangkura, P., Tangkhabuanbutra, J., Longyant, S., Sithigorngul, W., Rukpratanporn, S., Menasveta, P. and Sithigorngul, P., 2004.** Monoclonal antibodies against a truncated viral envelope protein (VP28) can detect white spot syndrome virus (WSSV) infections in shrimp. *ScienceAsia*, 30(4).359-363. DOI: 10.2306/scienceasia1513-1874.2004.30.359
- Daliry, S., Hallajisani, A., Mohammadi, R. J., Nouri, H. and Golzary, A., 2017.** Investigation of optimal condition for *Chlorella vulgaris* microalgae growth.

- Ma, K., Bao, Q., Wu, Y., Chen, S., Zhao, S., Wu, H. and Fan, J., 2020.** Evaluation of microalgae as immunostimulants and recombinant vaccines for diseases prevention and control in aquaculture. *Frontiers Bioengineering Biotechnology*, 8, 590431. DOI: 10.3389/fbioe.2020.590431
- Makesh, M., Koteeswaran, A., Chandran, N.D.J., Murali M.B. and Ramasamy, V., 2006.** Development of monoclonal antibodies against VP28 of WSSV and its application to detect WSSV using immunocomb. *Aquaculture*, 261, 64-71. DOI: 10.1016/j.aquaculture.2006.08.034
- Namikoshi, A., Wu, J.L., Yamashita, T., Nishizawa, T., Nishioka, T., Arimoto, M. and Muroga, K. 2004.** Vaccination trials with *Penaeus japonicus* to induce resistance to white spot syndrome virus. *Aquaculture*, 229, 25-35. DOI: 10.1016/s0044-8486(03)00363-6
- Sambrook, J., Fritsch, E.F. and Maniatis, T., 1989.** Molecular Cloning: A Laboratory Manual. Cold Spring Harbor Laboratory, Cold Spring Harbor, ISBN 0879693096, 267, 9289-9293.
- Soltani, N., Khavari-nejad, R.A., Yazdi, M.T., Shokravi, S. and Fernandez-valiente, E., 2006.** Variation of nitrogenase activity, photosynthesis and pigmentation of the cyanobacterium *Fischerella ambigua* strain FS18 under different irradiance and pH values. *World Journal of Microbiology and Biotechnology*, 22, 571-576. DOI: 10.1007/s11274-005-9073-5
- Taengchiyaphum, S., Nakayama, H., Srisala, J., Khiev, R., Aldama-can, D. J., Thitamadee, S. and Sritunyalucksana, K., 2017.** Vaccination with multimeric recombinant VP28 induces high protection against white spot syndrome virus in shrimp. *Developmental and Comparative Immunology*, 76, 56-64. DOI: 10.1016/j.dci.2017.05.016
- Tang, X., Wu, J., Sivaraman, J. and Hew, C. L., 2007.** Crystal structures of major envelope proteins VP26 and VP28 from white spot syndrome virus shed light on their evolutionary relationship. *Journal of Virology*, 81(12), 6709-17. DOI: 10.1128/JVI.02505-06
- Van Hulten, M. C., Witteveldt, J., Peters, S., Kloosterboer, N., Tarchini, R., Fiers, M., Sandbrink, H., Lankhorst, R. K. and Vlak, J. M., 2001.** The white spot syndrome virus DNA genome sequence. *Virology*, 286(1), 7-22. DOI: 10.1006/viro.2001.1002
- Witteveldt, J., Vlak, J. M. and van Hulten, M.C., 2006.** Increased tolerance of *Litopenaeus vannamei* to white spot syndrome virus (WSSV) infection after oral application of the viral envelope protein VP28. *Disease of Aquatic Organisms*, 70(1-2), 167-70. DOI: 10.3354/dao070167
- Yang, B., Liu, J., Jiang, Y. and Chen, F., 2016.** *Chlorella* species as hosts for genetic engineering and expression of heterologous proteins: Progress, challenge and perspective. *Biotechnology Journal*, 11, 1244-1261.

Isolation, replication and transmission of VP28 gene of shrimp white spot virus into *Chlorella vulgaris* microalgae using electroporation

Hosseini S.D.^{1*}; Hosseini M.S. ²; Rezai S.M. ³

*hosseinida@yahoo.com

1-Razi Vaccine and Serum Research Institute, Agricultural, Research Education and Extension Organization (AREEO), Arak, Iran

2-Alzahra University, Tehran, Iran

3-Sari University, Mazandaran, Iran

Abstract

White spot disease (WSD) is one of the most important diseases in shrimp farming, which has caused a decrease in production and severe economic damage all over the world, including Iran. Mortality caused by this severe disease is very high and reaches 100% within 3 to 10 days from the onset of the disease. According to global statistics, about 300,000 tons of shrimp are lost due to this disease every year in the world. For example, within the years 2004, 2006, 2007, 2015, 2016 and 2019, the outbreak of this disease caused millions of dollar losses to the producers in Iran. Since the VP28 viral protein gene is one of the most important white spot disease virus envelope proteins and plays a role in sticking to and penetrating shrimp cells, and since microalgae is the most important source of food for shrimp in the larval stage, So it can be a suitable host for making a vaccine. So in this study, samples of shrimp (*Penaeus indicus*) suspected of white spot disease from Abadan (Khuzestan province) breeding ponds were transferred to the laboratory of Razi Vaccine and Serum Institute of Arak branch and the genomic DNA of the virus was extracted using proteinase K and phenol/chloroform methods. The VP28 gene was proliferated by PCR method, inserted into pCAMBIA1304 vector and finally transferred to *Chlorella vulgaris* microalgae using electroporation method.

Keywords: VP28, white spot, Microalgae, *Chlorella vulgaris*, Electroporation

*Corresponding author